

# Внутрирезонаторное квазисинхронное самопреобразование частоты оптического излучения в кристалле Nd:Mg:LiNbO<sub>3</sub> с регулярной доменной структурой

Г.Д.Лаптев\*, А.А.Новиков\*\*

*Развита теория внутрирезонаторного квазисинхронного самопреобразования частот в активно-нелинейной среде с регулярной доменной структурой. Изучены процессы квазисинхронного самоудвоения частоты, самоделения частоты пополам и сложения частот с участием волн накачки в кристалле Nd:Mg:LiNbO<sub>3</sub> с регулярной доменной структурой. Исследованы зависимости эффективности нелинейно-оптических преобразований в рассматриваемых процессах от коэффициента отражения выходного зеркала и линейных потерь в среде.*

**Ключевые слова:** самоудвоение и самоделение частоты, квазисинхронная генерация, активно-нелинейные кристаллы с регулярной доменной структурой.

## 1. Введение

Широкое применение компактных и надежных лазеров, генерирующих в сине-зеленой, красной и ИК областях спектра, стимулирует исследования так называемых активно-нелинейных кристаллов, в которых ионы редкоземельных элементов (Nd, Er, Yb) обеспечивают активные (лазерные) свойства кристалла, а матрица выполняет роль нелинейной среды [1–4]. Последние достижения в области самопреобразования частоты связаны с появлением новых активно-нелинейных кристаллов, обладающих наряду с высокой нелинейностью и высокой концентрацией редкоземельных элементов высоким порогом оптического повреждения и хорошими механическими характеристиками [5–7].

Несомненный интерес представляет возможность использования в качестве активно-нелинейной среды кристалла с регулярной доменной структурой (РДС), позволяющей реализовывать квазисинхронные волновые взаимодействия. Достоинством такого кристалла является возможность некритичного по температуре фазового согласования взаимодействующих волн даже тогда, когда условия обычного фазового синхронизма невыполнимы [8, 9].

Использование селективной накачки в сочетании с техникой квазисинхронных волновых взаимодействий расширяет наши возможности, позволяя реализовать в активно-нелинейном кристалле различные трехчастотные волновые взаимодействия с участием лазерного излучения и волны накачки. Это обеспечивает новые схемные решения для лазеров с самопреобразованием частоты, которые могут применяться в системах оптиче-

ской памяти, лазерных дисплеях, цифровой печати высокого разрешения, телекоммуникациях.

В настоящей работе представлена теория внутрирезонаторных трехчастотных волновых квазисинхронных взаимодействий в активно-нелинейном кристалле Nd:Mg:LiNbO<sub>3</sub> с РДС и детально проанализированы самоудвоение, деление пополам и сложение частот с участием волн накачки.

## 2. Теоретический подход и система уравнений

Анализ внутрирезонаторных трехчастотных волновых взаимодействий в активно-нелинейном кристалле Nd:Mg:LiNbO<sub>3</sub> с РДС проведем следующим образом. Вначале рассмотрим систему укороченных уравнений, описывающих нелинейные трехчастотные волновые взаимодействия в среде с РДС, а потом добавим в одно из уравнений этой системы слагаемое, ответственное за усиление рассматриваемой волны активной средой, и дополним полученную систему уравнением, описывающим динамику инверсной населенности в активной среде. С помощью полученной системы уравнений, учитывающей одновременно нелинейные и активные свойства кристалла, проанализируем три частных случая самопреобразования частоты в активно-нелинейной среде (самоудвоение частоты, самоделение частоты пополам и сложение частот с участием волны накачки). При анализе будем полагать, что активно-нелинейный кристалл с РДС помещен в резонатор, образованный нанесенными на торцы кристалла плоскими зеркалами, расположеннымми соответственно при  $z = 0$  и  $z = L$  (рис.1).

Система укороченных уравнений для трехчастотного ( $\omega_1 + \omega_2 = \omega_3$ ) нелинейного взаимодействия плоских волн в первом приближении теории дисперсии [10], записанная для квадратов модулей амплитуд и фаз волн, в среде с РДС будет иметь вид

$$\begin{aligned} & \pm \frac{\partial S_{1,2}^{\pm}}{\partial z} + \frac{1}{u_{1,2}} \frac{\partial S_{1,2}^{\pm}}{\partial t} + \alpha_{1,2} S_{1,2}^{\pm}, \\ & = -g(z) \beta_{1,2} (S_1^{\pm} S_2^{\pm} S_3^{\pm})^{1/2} \sin(\Theta^{\pm} \mp \Delta kz), \end{aligned} \quad (1)$$

\*Международный учебно-научный лазерный центр МГУ им. М.В. Ломоносова, Россия, 119899 Москва, Воробьевы горы

\*\*Московский государственный университет им. М.В.Ломоносова, физический факультет, Россия, 119899 Москва, Воробьевы горы

Поступила в редакцию 16 апреля 2001 г., после доработки – 17 июля 2001 г.

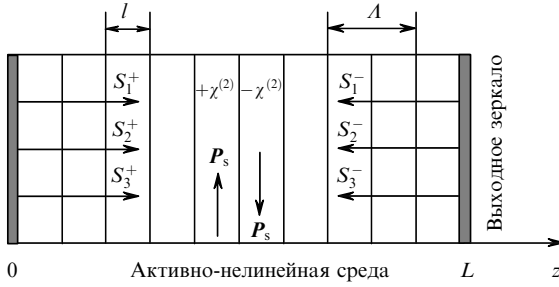


Рис.1. Схематическое изображение активно-нелинейной среды с РДС, помещенной внутрь резонатора ( $A$  – период РДС,  $l$  – толщина слоя,  $\mathbf{P}_s$  – вектор спонтанной поляризации среды).

$$\pm \frac{\partial S_3^\pm}{\partial z} + \frac{1}{u_3} \frac{\partial S_3^\pm}{\partial t} + \alpha_3 S_3^\pm = g(z) \beta_3 (S_1^\pm S_2^\pm S_3^\pm)^{1/2} \sin(\Theta^\pm \mp \Delta kz), \quad (2)$$

$$\pm \frac{\partial \Theta^\pm}{\partial z} + \left( \frac{1}{u_3} - \frac{1}{u_2} - \frac{1}{u_1} \right) \frac{\partial \Theta^\pm}{\partial t} = \frac{g(z)}{2} (S_1^\pm S_2^\pm S_3^\pm)^{1/2} \left( \frac{\beta_3}{S_3^\pm} - \frac{\beta_2}{S_2^\pm} - \frac{\beta_1}{S_1^\pm} \right) \cos(\Theta^\pm \mp \Delta kz), \quad (3)$$

где  $\Theta^\pm = \varphi_3^\pm - \varphi_2^\pm - \varphi_1^\pm$  – разность фаз;  $S_j^\pm$  и  $\varphi_j^\pm$  – медленно меняющиеся квадрат модуля амплитуды и фаза волны с частотой  $\omega_j$ , распространяющейся соответственно вдоль оси  $z$  («+») и в противоположном направлении («-») (рис.1);  $\beta_j = 4\pi\omega_j(\mathbf{e}_j d^{(2)} \mathbf{e}_j \mathbf{e}_k)/cn_j$  – коэффициент нелинейной связи;  $d^{(2)}$  – тензор нелинейной восприимчивости среды второго порядка;  $c$  – скорость света в вакууме;  $\Delta k = k_1 + k_2 - k_3$  – фазовая расстройка;  $\mathbf{e}_j$ ,  $n_j$ ,  $u_j$  и  $\mathbf{k}_j$  – соответственно единичный вектор поляризации, показатель преломления, групповая скорость и волновой вектор волны с частотой  $\omega_j$ ;  $g(z) = (-1)^{M(z)}$  – знакопеременная функция, характеризующая модуляцию нелинейной восприимчивости с периодом  $A = 2l$ ;  $M(z) = [z/l + 1]$  – номер слоя среды;  $l$  – толщина отдельного слоя;  $L = N_0 A = 2N_0 l$  – длина резонатора;  $2N_0$  – число доменов; коэффициент  $\alpha_j$  характеризует линейные потери в активно-нелинейной среде;  $j = 1, 2, 3$ . При выполнении условий квазисинхронизма  $\Delta k = 2\pi m/A$ , где  $m$  – нечетное число (порядок квазисинхронизма).

Усредним обе части уравнений (1)–(3) по длине резонатора с учетом малого изменения  $S_j^\pm$  и  $\varphi_j^\pm$  на этой длине. Такой подход оправдан при условии, что длина активно-нелинейного кристалла с РДС много меньше характеристической длины нелинейного взаимодействия. В диапазоне исследуемых нами параметров кристалла и резонатора (а они близки к реальным параметрам эксперимента) данное условие выполняется. Возникающие при усреднении интегралы вида

$$\frac{1}{L} \int_0^L g(z) \sin(\Theta^\pm \mp \Delta kz) dz \quad \text{и} \quad \frac{1}{L} \int_0^L g(z) \cos(\Theta^\pm \mp \Delta kz) dz$$

берутся с помощью послойного счета. Так, например,

$$\frac{1}{L} \int_0^L g(z) \sin(\Theta^\pm \mp \Delta kz) dz =$$

$$\begin{aligned} &= \frac{1}{L} \operatorname{Im} \left[ \exp(i\Theta^\pm) \int_0^L g(z) \exp(\mp i\Delta kz) dz \right] \\ &= \frac{1}{L} \operatorname{Im} \left[ \exp(i\Theta^\pm) \sum_{N=0}^{2N_0-1} (-1)^N \int_{NL}^{(N+1)L} \exp(\mp i\Delta kz) dz \right] \\ &= \pm \tan(\Delta k A/4) \operatorname{sinc}(\Delta k L/2) \cos(\Theta^\pm \mp \Delta k L/2). \end{aligned}$$

Пренебрегая различием групповых скоростей ( $u_j \approx c/n_j$ ) и вводя безразмерные интенсивности в виде  $I_j^\pm = cn_j S_j^\pm / 8\pi I_s$  (где  $I_s$  – интенсивность насыщения активной среды), получаем систему уравнений для усредненных по длине резонатора безразмерных интенсивностей  $I_j^\pm$  и разности фаз  $\Psi^\pm = \varphi_3^\pm - \varphi_2^\pm - \varphi_1^\pm \mp \Delta k L/2$ :

$$\begin{aligned} &\pm \frac{2}{n_{1,2} T_c} [I_{1,2}^\pm(L) - I_{1,2}^\pm(0) + I_{1,2}^\pm \alpha_{1,2} L] + \frac{dI_{1,2}^\pm}{dt} \\ &= \mp \frac{1}{n_{1,2} T_c} (\mu_{1,2} I_1^\pm I_2^\pm I_3^\pm)^{1/2} \cos \Psi^\pm, \end{aligned} \quad (4)$$

$$\begin{aligned} &\pm \frac{2}{n_3 T_c} [I_3^\pm(L) - I_3^\pm(0) + I_3^\pm \alpha_3 L] + \frac{dI_3^\pm}{dt} \\ &= \pm \frac{1}{n_3 T_c} (\mu_3 I_1^\pm I_2^\pm I_3^\pm)^{1/2} \cos \Psi^\pm, \end{aligned} \quad (5)$$

$$\begin{aligned} &\pm \frac{2}{T_c} [\Psi^\pm(L) - \Psi^\pm(0)] + (n_1 + n_2 - n_3) \frac{d\Psi^\pm}{dt} \\ &= \pm \frac{(I_1^\pm I_2^\pm I_3^\pm)^{1/2}}{2T_c} \left( \frac{\sqrt{\mu_3}}{I_3^\pm} - \frac{\sqrt{\mu_2}}{I_2^\pm} - \frac{\sqrt{\mu_1}}{I_1^\pm} \right) \sin \Psi^\pm, \end{aligned} \quad (6)$$

где  $T_c = 2L/c$  – время обхода светом пустого резонатора;  $\mu_j = 2048\pi^5 L^2 I_s (\mathbf{e}_j d^{(2)} \mathbf{e}_j \mathbf{e}_k)^2 \tan^2(\Delta k A/4) \operatorname{sinc}^2(\Delta k L/2) / cn_1 \times n_2 n_3 \lambda_j^2$ . Появление множителя  $\tan^2(\Delta k A/4)$  связано с периодической модуляцией нелинейной восприимчивости среды. В случае точного квазисинхронизма имеем  $\tan^2(\Delta k A/4) \operatorname{sinc}^2(\Delta k L/2) = 4/\pi^2 m^2$ .

Будем полагать, что левое зеркало на рис.1 полностью отражает излучение с частотой  $\omega_j$ , а правое (выходное) зеркало имеет коэффициент отражения по интенсивности  $R_j$  для волны с частотой  $\omega_j$ . В этом случае система (4)–(6) дополняется следующими граничными условиями:

$$\begin{aligned} I_j^-(L) &= R_j I_j^+(L), \quad I_j^-(0) = I_j^+(0), \\ \Psi^+(L) &= \Psi^-(L) - \pi - \Delta k L - \delta\Psi_L, \end{aligned} \quad (7)$$

$$\Psi^+(0) = \Psi^-(0) - \pi - \Delta k L + \delta\Psi_0,$$

где  $\delta\Psi_{0,L}$  – дополнительные фазовые сдвиги, вносимые соответственно левым и правым зеркалами резонатора;  $\delta\Psi = \delta\Psi_L + \delta\Psi_0$  – суммарный фазовый сдвиг. В силу малости изменения интенсивностей и фаз волн на длине резонатора

$$I_j^- = R_j I_j^+ = R_j I_j, \quad \Psi^+ = \Psi^- - \pi - \Delta k L - \delta\Psi = \Psi \quad (8)$$

и система (4)–(6) с учетом (7) преобразуется к виду

$$\frac{dI_{1,2}}{dt} = \frac{1}{n_{1,2}T_c} \left[ -v_{1,2}I_{1,2} - (\varepsilon_{1,2}I_1I_2I_3)^{1/2} \sin(\varphi + \theta) \right], \quad (9)$$

$$\frac{dI_3}{dt} = \frac{1}{n_3T_c} \left[ -v_3I_3 + (\varepsilon_3I_1I_2I_3)^{1/2} \sin(\varphi + \theta) \right], \quad (10)$$

$$\begin{aligned} \frac{d\varphi}{dt} = & \frac{(I_1I_2I_3)^{1/2}}{2(n_1 + n_2 - n_3)T_c} \left[ \frac{\sqrt{\xi_2}}{I_2} \cos(\varphi + \psi_2) \right. \\ & \left. + \frac{\sqrt{\xi_1}}{I_1} \cos(\varphi + \psi_1) - \frac{\sqrt{\xi_3}}{I_3} \cos(\varphi + \psi_3) + \frac{2\delta\Psi}{(I_1I_2I_3)^{1/2}} \right], \end{aligned} \quad (11)$$

где  $v_j = 2(1 - R_j)/(1 + R_j) + 2\alpha_jL$  – безразмерные линейные потери для волны с частотой  $\omega_j$  внутри резонатора;

$$\theta = \arcsin \left\{ \frac{[1 + (R_1R_2R_3)^{1/2}] \cos(\Delta kL/2 + \delta\Psi/2)}{[1 + R_1R_2R_3 + 2(R_1R_2R_3)^{1/2} \cos(\Delta kL + \delta\Psi)]^{1/2}} \right\};$$

$$\varepsilon_j = \frac{\mu_j[1 + R_1R_2R_3 + 2(R_1R_2R_3)^{1/2} \cos(\Delta kL + \delta\Psi)]}{(1 + R_j)^2};$$

$$\psi_j =$$

$$\arcsin \left\{ \frac{[1 + (R_1R_2R_3/R_j^2)^{1/2}] \cos(\Delta kL/2 + \delta\Psi/2)}{[1 + R_1R_2R_3/R_j^2 + 2 \cos(\Delta kL + \delta\Psi)(R_1R_2R_3/R_j^2)^{1/2}]^{1/2}} \right\};$$

$$\varphi = \Psi^+ + \Delta kL/2 + \delta\Psi/2;$$

$$\xi_j = \frac{\mu_j[1 + R_1R_2R_3/R_j^2 + 2 \cos(\Delta kL + \delta\Psi)(R_1R_2R_3/R_j^2)^{1/2}]}{4}.$$

Система уравнений (9)–(11) описывает нелинейное взаимодействие волн без учета активных свойств среды. Как указывалось выше, данную систему уравнений необходимо несколько видоизменить с учетом активных свойств среды. Активные свойства среды описывает система уравнений Статца–Де Марса [11], которая в безразмерном виде выглядит так:

$$\frac{d(I_q^+ + I_q^-)}{dt} = \frac{v_q(I_q^+ + I_q^-)}{n_qT_c}(N - 1), \quad (12)$$

$$\frac{dN}{dt} = \frac{1}{T_1} \left[ 1 + \eta - N(I_q^+ + I_q^- + 1) \right], \quad (13)$$

где  $N$  – отношение плотности инверсной населенности к пороговой;  $1 + \eta = P_{\text{pump}}/P_{\text{th}}$  – отношение мощности накачки к пороговой;  $T_1$  – время релаксации инверсной населенности;  $I_q^\pm = c_{nq}S_q^\pm/8\pi I_s$  – безразмерная интенсивность волны с частотой  $\omega_q$ , усиливающейся в активной среде. В нашем случае  $q = 1$  либо 2, либо 3 (усиливается одна из трех взаимодействующих волн). С учетом (8) систему уравнений (12), (13) перепишем в виде

$$\frac{dI_q}{dt} = \frac{v_qI_q}{n_qT_c}(N - 1), \quad (14)$$

$$\frac{dN}{dt} = \frac{1}{T_1} \left[ 1 + \eta - N(I_q + I_qR_q + 1) \right]. \quad (15)$$

Система уравнений (9)–(11), (14), (15) описывает трехчастотное квазисинхронное нелинейное взаимодействие волн в активно-нелинейной среде с РДС и является

обобщением уравнений для самоудвоения частоты [12] на случай произвольных  $R_j$  и квазисинхронных волновых взаимодействий. При этом правую часть уравнения (14) следует подставить в одно из уравнений (9) или (10) вместо слагаемого  $v_jI_j/n_jT_c$  в зависимости от того, волна с какой частотой –  $\omega_{1,2}$  или  $\omega_3$  – усиливается активной средой.

Далее мы рассмотрим три частных случая: 1) генерацию удвоенной частоты в активно-нелинейной среде  $\omega + \omega \rightarrow 2\omega$  (самоудвоение); 2) генерацию субгармоники в активно-нелинейной среде  $\omega \rightarrow \omega/2 + \omega/2$  (самоделение частоты пополам); 3) сложение частот с участием волны накачки  $\omega + \omega_{\text{pump}} \rightarrow \omega_{\text{sum}}$ . В рассматриваемых случаях в активной среде усиливается волна с частотой  $\omega$ .

### 3. Квазисинхронное самоудвоение частоты

Рассмотрим квазисинхронное самоудвоение частоты  $\omega + \omega = 2\omega$ . В этом случае  $\omega_1 = \omega_2 = \omega$ ,  $\omega_3 = 2\omega$ ,  $\lambda = 2\pi c/\omega$  и уравнения (9)–(11), (14), (15) с учетом того, что в активной среде усиливается волна с частотой  $\omega_1$ , принимают вид

$$\frac{dI_1}{dt} = \frac{I_1}{n_1T_c} \left[ v_1(N - 1) - (\varepsilon_1I_3)^{1/2} \sin(\varphi + \theta) \right], \quad (16)$$

$$\frac{dI_3}{dt} = \frac{1}{n_3T_c} \left[ -v_3I_3 + (\varepsilon_3I_3)^{1/2}I_1 \sin(\varphi + \theta) \right], \quad (17)$$

$$\begin{aligned} \frac{d\varphi}{dt} = & \frac{I_1\sqrt{T_3}}{2(2n_1 - n_3)T_c} \left[ \frac{2\sqrt{\xi_1}}{I_1} \cos(\varphi + \psi_1) \right. \\ & \left. - \frac{\sqrt{\xi_3}}{I_3} \cos(\varphi + \psi_3) \right] + \frac{\delta\Psi}{(2n_1 - n_3)T_c}, \end{aligned} \quad (18)$$

$$\frac{dN}{dt} = \frac{1}{T_1} [1 + \eta - N(I_1 + I_1R_1 + 1)], \quad (19)$$

где  $I_{1,3}$  – безразмерная интенсивность волн первой и второй гармоник соответственно.

Полагая резонатор высокодобротным для волны с частотой  $\omega$  ( $R_1 = R_2 = 1$ ), получаем

$$\varepsilon_1 = \mu_1[1 + R_3 + 2\sqrt{R_3} \cos(\Delta kL)]/4,$$

$$\varepsilon_3 = \mu_3[1 + R_3 + 2\sqrt{R_3} \cos(\Delta kL)]/(1 + R_3)^2,$$

$$\xi_1 = \mu_1[1 + R_3 + 2\sqrt{R_3} \cos(\Delta kL + \delta\Psi)]/4,$$

$$\xi_3 = \mu_3[1 + 1/R_3 + 2 \cos(\Delta kL + \delta\Psi)/\sqrt{R_3}]/4,$$

$$\theta = \psi_{1,3} = \arcsin \left\{ \frac{(1 + \sqrt{R_3}) \cos(\Delta kL/2 + \delta\Psi/2)}{[(1 + R_3 + 2\sqrt{R_3} \cos(\Delta kL + \delta\Psi))^{1/2}]} \right\}.$$

При  $\delta\Psi = 0$  система (16)–(19) имеет два стационарных решения:

$$\begin{aligned} I_3 = & \frac{\varepsilon_3}{4v_3^2} \left\{ -v_1v_3(\varepsilon_1\varepsilon_3)^{-1/2} - 1/2 \right. \\ & \left. + [(v_1v_3(\varepsilon_1\varepsilon_3)^{-1/2} + 1/2)^2 + 2\eta v_1v_3(\varepsilon_1\varepsilon_3)^{-1/2}]^{1/2} \right\}^2, \end{aligned} \quad (20)$$

$$I_3 = \frac{4v_1\eta\sqrt{R_3} - v_3(1 + R_3)}{4\sqrt{R_3}[4v_1\sqrt{R_3} + v_3(1 + R_3)].} \quad (21)$$

В зависимости от значений параметров  $v_{1,3}$ ,  $\epsilon_{1,3}$ ,  $R_3$  и  $\eta$  реализуется одно из двух стационарных решений. При этом решение (20) существует при всех значениях параметров  $v_{1,3}$ ,  $\epsilon_{1,3}$ ,  $R_3$ ,  $\eta$ , а решение (21) – только при  $4v_1\eta\sqrt{R_3} \geq v_3(1 + R_3)$ . В случае  $R_1 = R_2 = 1$  и  $\delta\Psi \neq 0$  система (16)–(19) не имеет простого аналитического решения для интенсивности второй гармоники.

На рис.2, 3 представлены характерные зависимости, соответствующие устойчивым ветвям решений (20) и (21). Из них видно, что существует оптимальный коэффициент отражения  $R_{2\omega}$  выходного зеркала для волны второй гармоники, при котором выходная мощность второй гармоники максимальна. Расчеты проведены для кристалла Nd:Mg:LiNbO<sub>3</sub> с длиной  $L = 0.5$  см и периодом РДС  $\Lambda = 7$  мкм, помещенного в двойной резонатор, одно из зеркал которого имеет коэффициенты отражения  $R_\omega = R_{2\omega} = 100\%$ , а другое –  $R_\omega = 100\%$  и  $R_{2\omega} < 100\%$ . Предполагается, что в кристалле реализуется ее-е-взаимодействие, в котором задействован наибольший для ниобата лития нелинейный коэффициент  $d_{33}$ , при  $\lambda = 2\pi c/\omega = 1.084$  мкм,  $I_s = 10$  кВт/см<sup>2</sup> (рассчитано по данным работы [4]),  $P_{\text{th}} = 0.1$  Вт, радиусе пучка в резонаторе  $r_0 = 10^{-4}$  м.

#### 4. Квазисинхронное самоделение частоты пополам

Рассмотрим теперь квазисинхронное деление частоты пополам  $\omega = \omega/2 + \omega/2$ . В этом случае  $\omega_1 = \omega_2 = \omega/2$ ,  $\omega_3 = \omega$ ,  $\lambda = 2\pi c/\omega$  и уравнения (9)–(11), (14), (15) с учетом того, что в активной среде усиливается волна с частотой  $\omega_3$ , принимают вид

$$\frac{dI_1}{dt} = \frac{I_1}{n_1 T_c} \left[ -v_1 - (\epsilon_1 I_3)^{1/2} \sin(\varphi + \theta) \right], \quad (22)$$

$$\frac{dI_3}{dt} = \frac{1}{n_3 T_c} \left[ v_3 I_3 (N - 1) + (\epsilon_3 I_3)^{1/2} I_1 \sin(\varphi + \theta) \right], \quad (23)$$

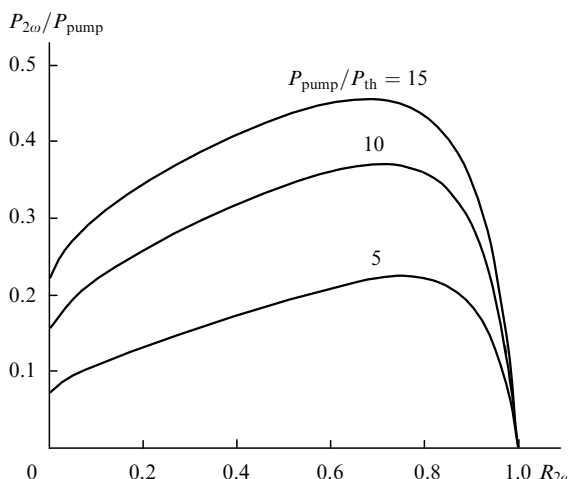


Рис.2. Зависимости нормированной мощности второй гармоники на выходе из резонатора от коэффициента отражения выходного зеркала для второй гармоники при разных мощностях накачки ( $v_1 = 0.08$ ,  $\alpha_{2\omega} = 0.1$  см<sup>-1</sup>,  $m = 1$ ).

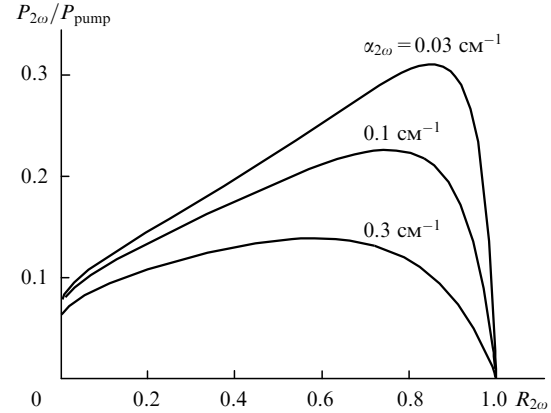


Рис.3. Зависимости нормированной мощности второй гармоники на выходе из резонатора от коэффициента отражения выходного зеркала для второй гармоники при разных линейных потерях  $\alpha_{2\omega}$  ( $v_1 = 0.08$ ,  $P_{\text{pump}}/P_{\text{th}} = 5$ ,  $m = 1$ ).

$$\begin{aligned} \frac{d\varphi}{dt} = & \frac{I_1 \sqrt{I_3}}{2(2n_1 - n_3)T_c} \left[ \frac{2\sqrt{\xi_1}}{I_1} \cos(\varphi + \psi_1) \right. \\ & \left. - \frac{\sqrt{\xi_3}}{I_3} \cos(\varphi + \psi_3) \right] + \frac{\delta\Psi}{(2n_1 - n_3)T_c}, \end{aligned} \quad (24)$$

$$\frac{dN}{dt} = \frac{1}{T_1} [1 + \eta - N(I_3 + I_3 R_3 + 1)], \quad (25)$$

где  $I_{1,3}$  – безразмерные интенсивности волн с частотами  $\omega/2$  и  $\omega$  соответственно. При параметрической генерации низкочастотной волны резонатор должен быть высокодобротным для волн с частотами  $\omega/2$  и  $\omega$  одновременно ( $R_1 = R_2 \approx 1$ ,  $R_3 = 1$ ). Для такого резонатора имеем

$$\epsilon_1 = \mu_1 [1 + R_1^2 + 2R_1 \cos(\Delta k L + \delta\Psi)] / (1 + R_1)^2,$$

$$\epsilon_3 = \xi_3 = \mu_3 [1 + R_1^2 + 2R_1 \cos(\Delta k L + \delta\Psi)] / 4,$$

$$\xi_1 = \mu_1 [1 + \cos(\Delta k L + \delta\Psi)] / 2,$$

$$\theta = \psi_3 \approx \psi_1 \approx (\pi - \Delta k L - \delta\Psi) / 2.$$

При  $\delta\Psi = 0$  система (22)–(25) имеет два стационарных решения для интенсивности  $I_1$ :

$$I_1 = \frac{v_1 v_3 (\eta \epsilon_1 - 2v_1^2)}{(\epsilon_1 \epsilon_3)^{1/2} (\epsilon_1 + 2v_1^2)}, \quad (26)$$

$$I_1 = \frac{\eta v_3 R_1^{1/2} - v_1 (1 + R_1)}{v_3 R_1 + v_1 (1 + R_1) R_1^{1/2}}. \quad (27)$$

Как и при самоудвоении частоты, в зависимости от значений параметров  $v_{1,3}$ ,  $\epsilon_{1,3}$ ,  $R_1$  и  $\eta$  реализуется одно из двух стационарных решений. Решение (26) существует при  $\eta \epsilon_1 \geq 2v_1^2$ , решение (27) – при  $\eta v_3 R_1^{1/2} \geq v_1 (1 + R_1)$ . Из представленных на рис.4, 5 характерных зависимостей, соответствующих устойчивым ветвям решений (26) и (27), видно, что самоделение частоты пополам, являясь параметрическим процессом, имеет порог. Здесь также существует оптимальный коэффициент отражения  $R_{\omega/2}$ , при котором выходная мощность субгармоники максимальна. Расчет проведен для ее-е-взаимодействия в кристалле Nd:Mg:LiNbO<sub>3</sub> с  $L = 0.5$  см и  $\Lambda = 22$  мкм,

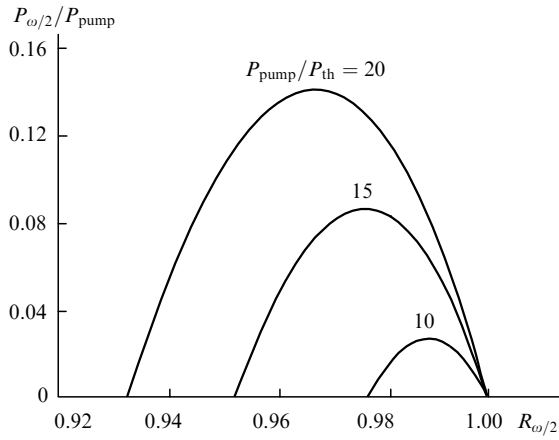


Рис.4. Зависимости нормированной мощности субгармоники на выходе из резонатора от коэффициента отражения выходного зеркала для субгармоники при разных мощностях накачки ( $v_3 = 0.08$ ,  $\alpha_{\omega/2} = 0.08 \text{ см}^{-1}$ ,  $m = 1$ ).

помещенном в двойной резонатор, одно из зеркал которого имеет коэффициенты отражения  $R_{\omega/2} = R_{\omega} = 100\%$ , а другое –  $R_{\omega} = 100\%$  и  $R_{\omega/2} < 100\%$ .

## 5. Квазисинхронное сложение частот с участием волны накачки

В качестве источника накачки активной среды в последнее время активно используют полупроводниковые лазеры. Часть накачки поглощается активной средой, а непоглощенная накачка может принимать участие в нелинейно-оптическом взаимодействии. Рассмотрим внутрирезонаторное невырожденное сложение частот  $\omega_1 + \omega_2 = \omega_3$ , где  $\omega_1$  – частота лазерной генерации,  $\omega_2$  – частота накачки.

Уравнения (9)–(11), (14), (15) для квазисинхронного сложения частот при постоянной мощности волны накачки (т. е. при  $I_2 = \text{const}$ ,  $\varphi_2^\pm = \text{const}$ ) и отсутствии ( $R_2 = 0$ ) резонатора на частоте накачки выглядят следующим образом:

$$\frac{dI_1}{dt} = \frac{1}{n_1 T_c} \left[ v_1 I_1 (N - 1) - \frac{(\mu_1 I_1 I_2 I_3)^{1/2}}{1 + R_1} \sin \Phi \right], \quad (28)$$

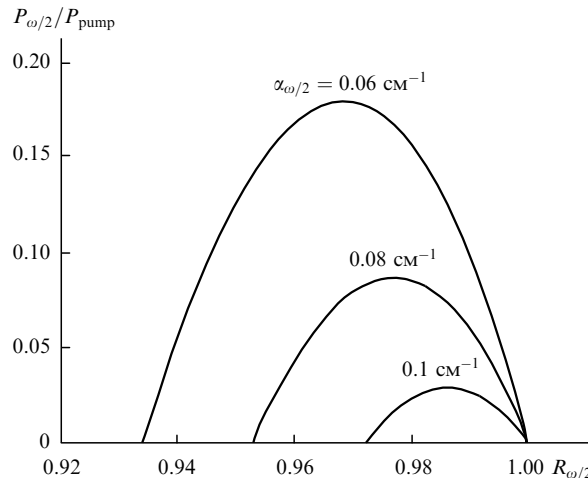


Рис.5. Зависимости нормированной мощности субгармоники на выходе из резонатора от коэффициента отражения выходного зеркала для субгармоники при разных линейных потерях  $\alpha_{\omega/2}$  ( $v_3 = 0.08$ ,  $P_{\text{pump}}/P_{\text{th}} = 15$ ,  $m = 1$ ).

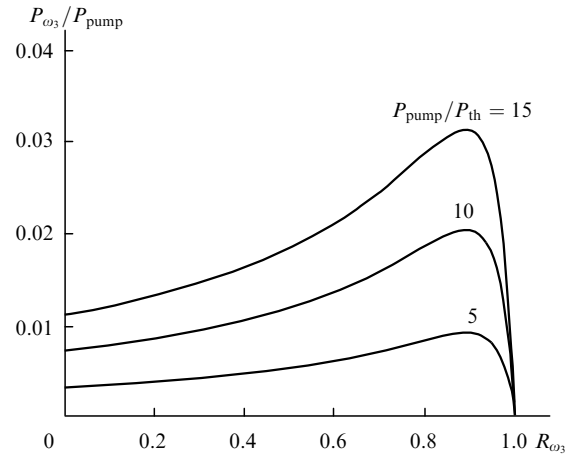


Рис.6. Зависимости нормированной мощности волны с частотой  $\omega_3$  на выходе из резонатора от коэффициента отражения выходного зеркала для  $I_3$  при разных мощностях накачки ( $R_1 = 1$ ,  $v_1 = 0.08$ ,  $\alpha_3 = 0.1 \text{ см}^{-1}$ ,  $m = 1$ ).

$$\frac{dI_3}{dt} = \frac{1}{n_3 T_c} \left[ -v_3 I_3 + \frac{(\mu_3 I_1 I_2 I_3)^{1/2}}{1 + R_3} \sin \Phi \right], \quad (29)$$

$$\begin{aligned} \frac{d\Phi}{dt} = & \frac{(I_1 I_2 I_3)^{1/2} \cos \Phi}{4(n_1 + n_2 - n_3) T_c} \left( \frac{\sqrt{\mu_1}}{I_1} - \frac{\sqrt{\mu_3}}{I_3} \right) \\ & + \frac{\delta \Psi}{(n_1 + n_2 - n_3) T_c}, \end{aligned} \quad (30)$$

$$\frac{dN}{dt} = \frac{1}{T_1} [1 + \eta - N(I_1 + I_1 R_1 + 1)], \quad (31)$$

где  $I_2 = (1/\delta - 1)P_{\text{pump}}/\pi r_0^2 I_s$ ;  $\delta$  – коэффициент, характеризующий поглощение накачки активной средой ( $0 < \delta \leq 1$ );  $\Phi = \varphi + \arcsin[\cos(\Delta k L/2 + \delta \Psi/2)]$ . Система уравнений (28)–(31) в случае точного квазисинхронизма и  $\delta \Psi = 0$  имеет два стационарных решения:

$$I_3 = \frac{\mu_3 I_2 [\eta v_1 v_3 (1 + R_1)(1 + R_3) - I_2 (\mu_1 \mu_3)^{1/2}]}{v_3^2 (1 + R_1)(1 + R_3)^2 [v_1 v_3 (1 + R_1)(1 + R_3) + I_2 (\mu_1 \mu_3)^{1/2}]}, \quad (32)$$

$$I_3 = \frac{(\mu_1 / \mu_3)^{1/2} \eta v_1 (1 + R_1) - v_3 (1 + R_3)}{(1 + R_1) [v_1 (1 + R_1) + v_3 (1 + R_3)]}. \quad (33)$$

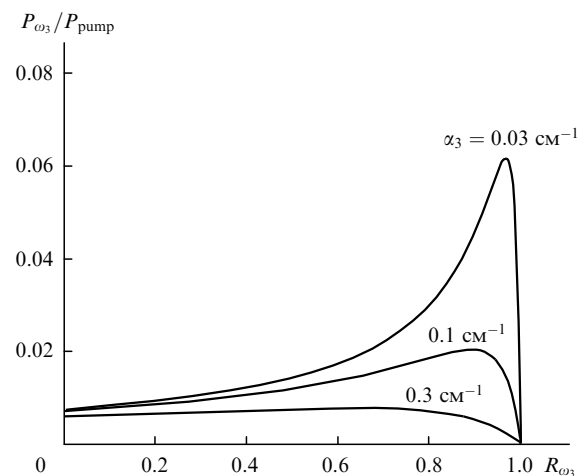


Рис.7. Зависимости нормированной мощности волны с частотой  $\omega_3$  на выходе из резонатора от коэффициента отражения выходного зеркала для  $I_3$  при разных линейных потерях  $\alpha_3$  ( $R_1 = 1$ ,  $v_1 = 0.08$ ,  $P_{\text{pump}}/P_{\text{th}} = 10$ ,  $m = 1$ ).

На рис.6, 7 представлены характерные зависимости, соответствующие устойчивым ветвям решений (32) и (33), из которых видно, что использование высокодобротного резонатора при малых  $\alpha_3$ , как и при самоудвоении частоты, позволяет существенно увеличить эффективность нелинейно-оптических преобразований. Расчет выполнен для кристалла Nd:Mg:LiNbO<sub>3</sub> с  $L = 0.5$  см и  $\Lambda = 4.2$  мкм, помещенного в двойной резонатор, одно из зеркал которого имеет коэффициенты отражения  $R_1 = R_3 = 100\%$ , а другое –  $R_1 = 100\%$  и  $R_3 < 100\%$ . Как и в предыдущих случаях, полагается, что в кристалле реализуется ее–е-взаимодействие, а  $\lambda_1 = 2\pi c/\omega_1 = 1.084$  мкм,  $\lambda_2 = 2\pi c/\omega_2 = 0.81$  мкм,  $\lambda_3 = 2\pi c/\omega_3 = 0.464$  мкм,  $1/\delta - 1 = 0.3$ .

## 6. Заключение

В работе представлена теория внутрирезонаторных трехчастотных квазисинхронных взаимодействий световых волн в активно-нелинейных кристаллах с РДС. Проведен детальный анализ квазисинхронных процессов самоудвоения частоты, самоделения частоты пополам и сложения частот с участием волны накачки в активно-нелинейном кристалле Nd:Mg:LiNbO<sub>3</sub> с РДС. Показано существование оптимальных коэффициентов отражения выходных зеркал резонатора для эффективной генерации второй гармоники, субгармоники и волны с суммарной частотой.

Представленные в работе результаты подтверждают, что использование полупроводниковой накачки и квазисинхронных волновых взаимодействий открывает новые перспективы применения активно-нелинейных сред для реализации трехчастотных волновых взаимодействий.

Авторы благодарны А.С.Чиркину, Н.В.Кравцову и Е.Г.Ларионцеву за полезные обсуждения. Работа выполнена при частичной поддержке РФФИ (грант № 00-02-16040).

1. Евланова Н.Ф., Ковалев А.С., Копчик В.А., Корниенко Л.С., Прохоров А.М., Рашкович Л.Н. *Письма в ЖЭТФ*, **5**, 351 (1967).
2. Johnson L.F., Ballman A.A. *J.Appl.Phys.*, **40**, 297 (1969).
3. Дмитриев В.Г., Раевский Е.В., Рубинина Н.М., Рашкович Л.Н., Силичев О.О., Фомичев А.А. *Письма в ЖТФ*, **5**, 1400 (1979).
4. Fan T.Y., Cordova-Plaza A., Digonnet M.J.F., Byer R.L., Shaw H.J. *Opt.Soc.Amer.B*, **3**, 140 (1986).
5. Ye Q., Shah L., Eichenhold J., Hammons D., Peale R., Richardson M., Chin A., Chai B.H.T. *Optics Comms.*, **164**, 33 (1999).
6. Lu J., Li G., Liu J., Zhang S., Chen H., Jiang M., Shao Z. *Optics Comms.*, **168**, 405 (1999).
7. Каминский А.А., Хаке Д., Багаев С.Н., Уeda К., Гарсия-Золе Х., Капмани Х. *Квантовая электроника*, **26**, 95 (1999).
8. Armstrong J.A., Bloembergen N., Ducuing J., Pershan P.S. *Phys. Rev.*, **127**, 1918 (1962).
9. Byer R.L. *J. Nonlinear Optical Physics & Materials*, **6**, 549 (1997).
10. Шен И.Р. *Принципы нелинейной оптики* (М., Наука, 1989).
11. Statz H., De Mars G. *Quantum Electronics* (N.Y., Columbia Univ. Press, 1960, p.530–538).
12. Золотоверх И.И., Кравцов Н.В., Ларионцев Е.Г. *Квантовая электроника*, **30**, 565 (2000).